

Starkniederschlagshöhen und -spenden gemäß KOSTRA-DWD-2020

Rasterfeld 150147

(Zeile 150, Spalte 147)

Regenspende und Bemessungsniederschlagswerte in Abhängigkeit von Wiederkehrzeit T und Dauerstufe D

| Dauerstufe D | | Wiederkehrzeit T | | | | | | | | | | | | | | | | | |
|--------------|-----|------------------|------------|------|------------|------|------------|------|------------|------|------------|-------|------------|-------|------------|-------|------------|-------|------------|
| | | 1 a | | 2 a | | 3 a | | 5 a | | 10 a | | 20 a | | 30 a | | 50 a | | 100 a | |
| min | Std | mm | l / (s ha) | mm | l / (s ha) | mm | l / (s ha) | mm | l / (s ha) | mm | l / (s ha) | mm | l / (s ha) | mm | l / (s ha) | mm | l / (s ha) | mm | l / (s ha) |
| 5 | | 6,9 | 230,0 | 8,6 | 286,7 | 9,7 | 323,3 | 11,1 | 370,0 | 13,0 | 433,3 | 15,1 | 503,3 | 16,5 | 550,0 | 18,2 | 606,7 | 20,7 | 690,0 |
| 10 | | 9,0 | 150,0 | 11,3 | 188,3 | 12,6 | 210,0 | 14,4 | 240,0 | 17,0 | 283,3 | 19,7 | 328,3 | 21,5 | 358,3 | 23,8 | 396,7 | 27,1 | 451,7 |
| 15 | | 10,3 | 114,4 | 12,8 | 142,2 | 14,4 | 160,0 | 16,5 | 183,3 | 19,5 | 216,7 | 22,5 | 250,0 | 24,5 | 272,2 | 27,2 | 302,2 | 30,9 | 343,3 |
| 20 | | 11,2 | 93,3 | 14,0 | 116,7 | 15,7 | 130,8 | 18,0 | 150,0 | 21,2 | 176,7 | 24,5 | 204,2 | 26,7 | 222,5 | 29,6 | 246,7 | 33,7 | 280,8 |
| 30 | | 12,6 | 70,0 | 15,7 | 87,2 | 17,6 | 97,8 | 20,1 | 111,7 | 23,7 | 131,7 | 27,5 | 152,8 | 29,9 | 166,1 | 33,1 | 183,9 | 37,7 | 209,4 |
| 45 | | 14,0 | 51,9 | 17,4 | 64,4 | 19,5 | 72,2 | 22,3 | 82,6 | 26,4 | 97,8 | 30,5 | 113,0 | 33,3 | 123,3 | 36,8 | 136,3 | 42,0 | 155,6 |
| 60 | 1 | 15,0 | 41,7 | 18,7 | 51,9 | 21,0 | 58,3 | 24,0 | 66,7 | 28,4 | 78,9 | 32,8 | 91,1 | 35,8 | 99,4 | 39,6 | 110,0 | 45,1 | 125,3 |
| 90 | 1,5 | 16,6 | 30,7 | 20,7 | 38,3 | 23,2 | 43,0 | 26,5 | 49,1 | 31,3 | 58,0 | 36,2 | 67,0 | 39,4 | 73,0 | 43,7 | 80,9 | 49,7 | 92,0 |
| 120 | 2 | 17,7 | 24,6 | 22,1 | 30,7 | 24,8 | 34,4 | 28,4 | 39,4 | 33,5 | 46,5 | 38,8 | 53,9 | 42,2 | 58,6 | 46,8 | 65,0 | 53,3 | 74,0 |
| 180 | 3 | 19,5 | 18,1 | 24,3 | 22,5 | 27,3 | 25,3 | 31,2 | 28,9 | 36,8 | 34,1 | 42,6 | 39,4 | 46,4 | 43,0 | 51,4 | 47,6 | 58,5 | 54,2 |
| 240 | 4 | 20,8 | 14,4 | 26,0 | 18,1 | 29,1 | 20,2 | 33,3 | 23,1 | 39,3 | 27,3 | 45,5 | 31,6 | 49,6 | 34,4 | 54,9 | 38,1 | 62,6 | 43,5 |
| 360 | 6 | 22,9 | 10,6 | 28,5 | 13,2 | 32,0 | 14,8 | 36,6 | 16,9 | 43,2 | 20,0 | 50,0 | 23,1 | 54,4 | 25,2 | 60,3 | 27,9 | 68,6 | 31,8 |
| 540 | 9 | 25,1 | 7,7 | 31,2 | 9,6 | 35,1 | 10,8 | 40,1 | 12,4 | 47,3 | 14,6 | 54,8 | 16,9 | 59,7 | 18,4 | 66,1 | 20,4 | 75,2 | 23,2 |
| 720 | 12 | 26,7 | 6,2 | 33,3 | 7,7 | 37,4 | 8,7 | 42,8 | 9,9 | 50,5 | 11,7 | 58,5 | 13,5 | 63,7 | 14,7 | 70,5 | 16,3 | 80,3 | 18,6 |
| 1080 | 18 | 29,3 | 4,5 | 36,5 | 5,6 | 41,0 | 6,3 | 46,9 | 7,2 | 55,3 | 8,5 | 64,1 | 9,9 | 69,8 | 10,8 | 77,2 | 11,9 | 88,0 | 13,6 |
| 1440 | 24 | 31,3 | 3,6 | 39,0 | 4,5 | 43,7 | 5,1 | 50,0 | 5,8 | 59,0 | 6,8 | 68,3 | 7,9 | 74,4 | 8,6 | 82,4 | 9,5 | 93,9 | 10,9 |
| 2880 | 48 | 36,5 | 2,1 | 45,5 | 2,6 | 51,1 | 3,0 | 58,4 | 3,4 | 68,9 | 4,0 | 79,8 | 4,6 | 86,9 | 5,0 | 96,3 | 5,6 | 109,6 | 6,3 |
| 4320 | 72 | 40,0 | 1,5 | 49,8 | 1,9 | 55,9 | 2,2 | 64,0 | 2,5 | 75,5 | 2,9 | 87,4 | 3,4 | 95,2 | 3,7 | 105,4 | 4,1 | 120,1 | 4,6 |
| 5760 | 96 | 42,6 | 1,2 | 53,2 | 1,5 | 59,7 | 1,7 | 68,2 | 2,0 | 80,5 | 2,3 | 93,2 | 2,7 | 101,5 | 2,9 | 112,4 | 3,3 | 128,1 | 3,7 |
| 7200 | 120 | 44,8 | 1,0 | 55,9 | 1,3 | 62,7 | 1,5 | 71,7 | 1,7 | 84,7 | 2,0 | 98,0 | 2,3 | 106,8 | 2,5 | 118,2 | 2,7 | 134,6 | 3,1 |
| 8640 | 144 | 46,7 | 0,9 | 58,2 | 1,1 | 65,3 | 1,3 | 74,7 | 1,4 | 88,2 | 1,7 | 102,1 | 2,0 | 111,2 | 2,1 | 123,1 | 2,4 | 140,2 | 2,7 |
| 10080 | 168 | 48,3 | 0,8 | 60,3 | 1,0 | 67,6 | 1,1 | 77,3 | 1,3 | 91,3 | 1,5 | 105,7 | 1,7 | 115,1 | 1,9 | 127,4 | 2,1 | 145,1 | 2,4 |

Starkniederschlagshöhen und -spenden gemäß KOSTRA-DWD-2020

Rasterfeld 150147

(Zeile 150, Spalte 147)

Örtliche Unsicherheiten in Abhängigkeit von Wiederkehrzeit T und Dauerstufe D

| Dauerstufe D | | Wiederkehrzeit T | | | | | | | | |
|--------------|-----|------------------|-----|-----|-----|------|------|------|------|-------|
| | | 1 a | 2 a | 3 a | 5 a | 10 a | 20 a | 30 a | 50 a | 100 a |
| min | Std | ± % | ± % | ± % | ± % | ± % | ± % | ± % | ± % | ± % |
| 5 | | 10 | 11 | 11 | 11 | 12 | 12 | 13 | 13 | 13 |
| 10 | | 11 | 13 | 14 | 15 | 16 | 16 | 17 | 17 | 18 |
| 15 | | 13 | 15 | 16 | 17 | 18 | 19 | 19 | 20 | 20 |
| 20 | | 14 | 16 | 17 | 18 | 19 | 20 | 21 | 21 | 22 |
| 30 | | 16 | 18 | 19 | 20 | 21 | 22 | 22 | 23 | 23 |
| 45 | | 16 | 18 | 19 | 20 | 22 | 22 | 23 | 23 | 24 |
| 60 | 1 | 16 | 18 | 19 | 20 | 22 | 23 | 23 | 24 | 24 |
| 90 | 1,5 | 16 | 18 | 19 | 20 | 21 | 22 | 23 | 23 | 24 |
| 120 | 2 | 16 | 18 | 19 | 20 | 21 | 22 | 22 | 23 | 23 |
| 180 | 3 | 15 | 17 | 18 | 19 | 20 | 21 | 22 | 22 | 23 |
| 240 | 4 | 14 | 16 | 17 | 18 | 20 | 20 | 21 | 21 | 22 |
| 360 | 6 | 13 | 15 | 16 | 17 | 19 | 20 | 20 | 20 | 21 |
| 540 | 9 | 13 | 15 | 16 | 17 | 18 | 19 | 19 | 20 | 20 |
| 720 | 12 | 12 | 14 | 15 | 16 | 17 | 18 | 18 | 19 | 19 |
| 1080 | 18 | 12 | 14 | 14 | 15 | 16 | 17 | 18 | 18 | 19 |
| 1440 | 24 | 12 | 13 | 14 | 15 | 16 | 17 | 17 | 17 | 18 |
| 2880 | 48 | 12 | 13 | 14 | 14 | 15 | 16 | 16 | 17 | 17 |
| 4320 | 72 | 13 | 14 | 14 | 15 | 15 | 16 | 16 | 16 | 17 |
| 5760 | 96 | 14 | 14 | 14 | 15 | 15 | 16 | 16 | 16 | 17 |
| 7200 | 120 | 15 | 15 | 15 | 15 | 16 | 16 | 16 | 16 | 17 |
| 8640 | 144 | 15 | 15 | 15 | 15 | 16 | 16 | 16 | 17 | 17 |
| 10080 | 168 | 16 | 15 | 15 | 16 | 16 | 16 | 17 | 17 | 17 |

Parameter für abweichende T und D

Lokationsparameter ξ (Xi)

15,38282548

Skalenparameter α (Alpha)

5,26872525

Formparameter κ (Kappa)

-0,1

1. Koutsoyiannis-Parameter θ (Theta)

0,030762

2. Koutsoyiannis-Parameter η (Eta)

0,77637892

Parameter für dauerstufenübergreifende Extremwertschätzung nach KOUTSOYIANNIS et al. 1998.

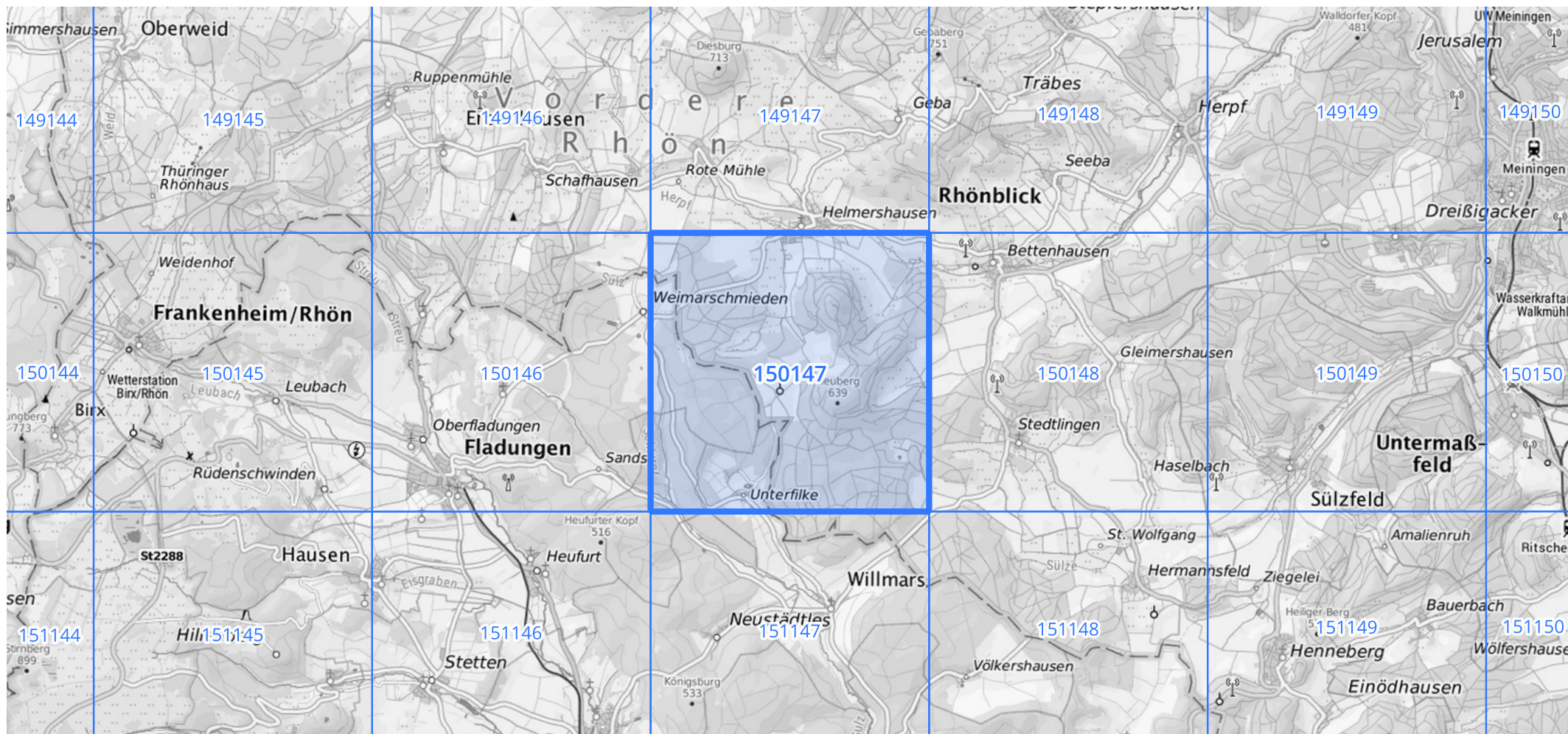
Siehe auch Anwendungshilfe zu KOSTRA-DWD-2020 des Deutschen Wetterdienstes.

Starkniederschlagshöhen und -spenden gemäß KOSTRA-DWD-2020

Rasterfeld 150147

(Zeile 150, Spalte 147)

Übersichtskarte des Rasterfeldes 150147, M 1 : 100 000



Quelle Rasterdaten: KOSTRA-DWD-2020 des Deutschen Wetterdienstes, Stand 12/2022.

Seite 3 von 3

Kartendarstellung: © Bundesamt für Kartographie und Geodäsie (2023), Datenquellen: https://sgx.geodatenzentrum.de/web_public/gdz/datenquellen/Datenquellen_TopPlusOpen.html

Für die Richtigkeit und Aktualität der Angaben wird keine Gewähr übernommen. Erstellt 01/2023.